

(62) 自熔性焼結鉱の還元速度

東京大学工学部

東京大学生産技術研究所

山村 武 吉沢昭宣

工博 館 充

1. 緒言 高炉の装入物の大部分を占める自熔性焼結鉱の還元速度をしらべ、妥当な速度式を見い出すことが重要な意味をもつてゐることは論ずるまでもない。しかし、焼結鉱のような多孔性かつ不規則な形状をもつ粒子は、その気孔および表面積が還元速度に及ぼす影響は無視できない。著者らは、この方向での研究の一歩として、自熔性焼結鉱の充填層のH₂還元を試みた。

2. 試料及び実験方法 還元試料としては、粒度6~8mm³, 15~20mm³で、CaO/CiO₂=1.57, T.Fe=59.14%の自熔性焼結鉱を使用した。(川崎製鉄、千葉製鉄所製) 還元には、密閉型熱天秤を用いた。試料は、石英製ベケット(41mm³×58mm; 底面はすり合わせになっている)に入れ、反応管中央部(中央より上部は、内径55mm³、下部は45mm³となっており、その接続部はすり合わせになっている)にセットされ、通常秤量系はフランプ状態になっている。H₂流量は予備実験の結果から、ガス境界膜の影響が無視できる4.0Nm³/minとした。

3. 実験結果 図1に、還元率一時間の曲線(実線)を示す。これから、還元率をパラメータとして $\frac{1}{\rho_s(1-R)}$ (m: 鉱石重量, V: ガス流量) と時間との関係を求め、 $\frac{1}{\rho_s(1-R)} \rightarrow 0$ への外そうによって、H₂の濃度勾配ゼロの還元率曲線(点線)を得た。これまで、未反応核モデルに関する、八木・小野らの取り扱いと同様、 $(1-(1-R)^{\frac{1}{3}})$: 小、 $(3(1-R)^{\frac{1}{3}}+2(1-R))$: 大のプロットをとると、図2のようになる。これから、このモデルによって実験結果を処理する場合には、還元率80%程度まで化学反応律速の取り扱いが可能ということになる。反応界面が、FeO-Feであるとして、 $\frac{1}{\rho_s(1-R)} \{1 + (1-R)^{\frac{1}{3}}\} = \frac{(C-C_e) \cdot k_1}{(1-E) \rho_0 \cdot \rho_s \cdot V_0}$ の $\frac{k_1}{\rho_s(1-R)}$ (1-E) を求めると図3のようになる。ここで ρ_s は形状係数、Eは気孔率を示す。 $\frac{k_1}{\rho_s(1-R)}$ の温度依存性は粒度に関係なく見掛けの活性化エネルギーは10kcal/mol程度であり、粒度の違いは、気孔率及び形状係数の差を示していることが認められた。しかし実際には反応面は一つではなく、FeO-Fe反応面のほかに、高次酸化物のゲスタイトの還元反応面も認められ、上述の結果は、これらを平均化した還元帶の進行の模様を表わすにすぎない。したがって、今後少くとも反応面が二つ以上の場合のモデルを展開することが必要と思われる。また、高炉への適用にあたっては、CO還元の場合が重要であり、H₂とCOとの差がどのようになるかを調べる必要がある。

4. 結言 以上の実験結果から、反応界面を一つとして未反応核モデルを取り扱った時、自熔性焼結鉱の還元は、気孔および表面積の効果が反映して、ほぼ化学反応律速となることがわかった。

(1) 八木、小野、学振54、委員会資料

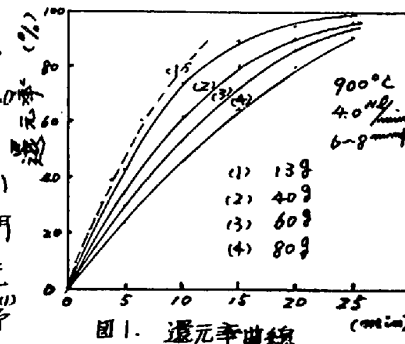
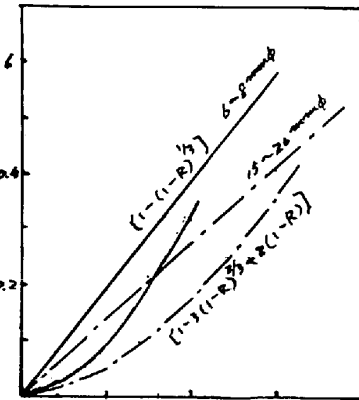
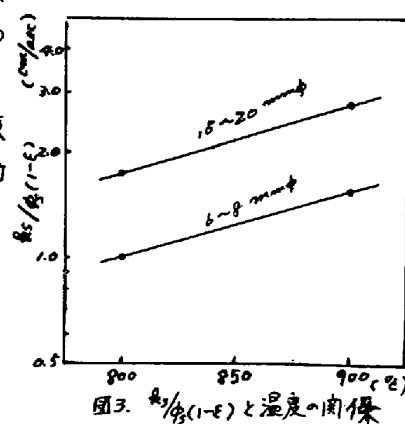


図1. 還元率曲線

図2. 濃度勾配ゼロの $(1-(1-R)^{\frac{1}{3}})$, $(1-3(1-R)^{\frac{1}{3}}+2(1-R))$ と時間の関係図3. $\frac{1}{\rho_s(1-R)}$ と温度の関係